

Список использованных источников

1. Ворох Д.А., Иванова Я.А. Эквивалентная схема мостового вихретокового преобразователя // Актуальные проблемы радиоэлектроники и телекоммуникаций: материалы Всероссийской научно-технической конференции (г. Самара, 16- 18мая 2017г) Самара: ООО «Офорт», 2017. С. 58-60.

2. Д.А. Ворох, А.И. Данилин, У.В. Бояркина. Синхронный детектор для мостового вихретокового преобразователя / Известия Самарского научного центра Российской академии наук. 2017. Т. 19, № 4. С. 167-170

3. Д.А. Ворох, А.И. Данилин. Амплитудный детектор для мостового вихретокового преобразователя //Актуальные проблемы радиоэлектроники и телекоммуникаций: материалы Всероссийской научно-технической конференции (г. Самара, 16- 18мая 2017г) Самара: ООО «Офорт», 2017. С. 19-21.

УДК 621.396.67

ПОЛЕ ИЗЛУЧЕНИЯ НЕЭЛЕМЕНТАРНЫХ РАМОЧНЫХ АНТЕНН

А.А. Балуков

«Самарский национальный исследовательский университет имени академика С.П. Королёва», г. Самара

В учебных материалах для студентов приводятся расчеты для элементарных антенн типовых конфигураций (круглая и прямоугольная рамки), для которых наибольший линейный размер d полагается намного меньшим длины волны λ ($d \ll \lambda$). Неэлементарные антенны затрагивают в основном только вскользь с приведением готовой формулы. В работе приведена методика расчета характеристик неэлементарной рамочной антенны в дальней зоне излучения. Для расчетов используем аппарат векторного электрического потенциала, который для гармонических полей представляется комплексным вектором $\dot{\vec{A}}(\vec{r})$, подчиняющимся неоднородному уравнению Гельмгольца с заданным вектором комплексной плотности тока $\vec{J}(\vec{r}')$ в правой части. Решение этого уравнения для свободного пространства определяется соотношением:

$$\dot{\vec{A}}(\vec{r}) = \frac{\mu_0}{4\pi} \int_{V'} \vec{J}(\vec{r}') \frac{e^{-ikR(\vec{r}')}}{R(\vec{r}')} dV' \quad (1)$$

Здесь \vec{r} , \vec{r}' - радиус-векторы точек наблюдения и источника соответственно; V' - объем источника; $k = 2\pi/\lambda$ – волновое число; R – расстояние между точками источника и наблюдения, которое с учетом

разложения в ряд Тейлора по степеням малого параметра $\frac{r'}{r}$ представляется в виде:

$$R = |\bar{r} - \bar{r}'| = \sqrt{r^2 + r'^2 - 2rr' \cos \alpha} = r - r' \cos \alpha + \frac{r'^2}{2r} \sin^2 \alpha + \dots = r - \Delta r + \delta r; \Delta r = r' \cos \alpha; \cos \alpha = (\bar{1}_r, \bar{1}_{r'})$$

Δr содержит r' в первой степени, δr – во второй и более высоких степенях.

Для дальней зоны в соотношении (1) полагается $\Delta r \gg \delta r \approx 0$, причем для быстроосциллирующей функции e^{-ikR} и медленной функции $\frac{1}{R}$ принимаются приближения:

$$\frac{1}{R} \approx \frac{1}{r}; \quad e^{-ikR} \approx e^{-ik(r-\Delta r)}$$

При этом

$$\dot{\vec{A}}(\bar{r}) = \frac{\mu_0}{4\pi} \frac{e^{-ikr}}{r} \int_{V'} \bar{j}(\bar{r}') e^{ik\Delta r(\bar{r}')} dV' \quad (2)$$

Через вычисленный по (2) вектор $\dot{\vec{A}}$ определяется магнитное поле $\dot{\vec{H}}$, а по $\dot{\vec{H}}$ при помощи первого уравнения Максвелла – электрическое поле $\dot{\vec{E}}$:

$$\dot{\vec{H}} = \frac{1}{\mu_0} \text{rot}(\dot{\vec{A}}); \quad \dot{\vec{E}} = \frac{1}{i\omega\epsilon_0} \text{rot}\dot{\vec{H}}$$

Для дальней зоны эти соотношения приводятся к выражениям векторов поля через поперечную относительно $\bar{1}_r$ составляющую векторного потенциала $\dot{\vec{A}}_{\perp}$ (1):

$$\dot{\vec{H}} \approx \frac{ik}{\mu_0} [\dot{\vec{A}}_{\perp}, \bar{1}_r]; \quad \dot{\vec{E}} \approx -i\omega\dot{\vec{A}}_{\perp} \quad (3)$$

Рассмотрим круглую элементарную рамку диаметра $d = 2a$ (рисунок 1). Координаты точек источника $Q(\bar{r}')$: сферические координаты $r' = \rho' = a, \theta' = \frac{\pi}{2}, \varphi'$; цилиндрические координаты $\rho' = r' = a, \varphi', z' = 0$. Координаты точки наблюдения $P(\bar{r})$: сферические r, θ, φ ; цилиндрические ρ, φ, z . При этом

$$dV' = \rho' d\rho' d\varphi' dz'; \Delta r = r' \cos \alpha = \rho' \sin \theta \cos \psi; \psi = \varphi' - \varphi \quad (4)$$

Плотность тока зададим в виде:

$$\bar{j}(\bar{r}') = \bar{1}_{\varphi'} i \delta(\rho' - a) \delta(z' - 0); \quad i = I_m e^{i\omega t} \quad (5)$$

Подставляя (4) и (5) в (2), и учитывая свойства δ - функции, получим:

$$\begin{aligned} \dot{\vec{A}}(\vec{r}) &= \frac{\mu_0}{4\pi} \dot{I} a \frac{e^{-ikr}}{r} \int_0^{2\pi} \vec{\bar{1}}_{\varphi'} e^{i\xi \cos \psi} d\psi; \\ \xi &= \xi_0 \sin \theta = ka \sin \theta = \frac{\pi d}{\lambda} \sin \theta \end{aligned} \quad (6)$$

Переведем орт $\vec{\bar{1}}_{\varphi'}$ в орты координат точки наблюдения $\vec{\bar{1}}_{\varphi}, \vec{\bar{1}}_{\rho}$, не зависящие от положения точек источника:

$$\vec{\bar{1}}_{\varphi'} = \vec{\bar{1}}_{\psi} = -\vec{\bar{1}}_{\rho} \sin \psi + \vec{\bar{1}}_{\varphi} \cos \psi$$

Учтя, что интеграл при орте $\vec{\bar{1}}_{\rho}$ обращается в ноль, получим:

$$\dot{\vec{A}}(\vec{r}) = \vec{\bar{1}}_{\varphi} \frac{\mu_0}{4\pi} \dot{I} a \frac{e^{-ikr}}{r} \int_0^{2\pi} e^{i\xi \cos \psi} \cos \psi d\psi \quad (7)$$

Последний интеграл выражается через функцию Бесселя первого порядка $J_1(\xi)$:

$$\int_0^{2\pi} e^{i\xi \cos \psi} \cos \psi d\psi = i 2\pi J_1(\xi).$$

Таким образом:
$$\dot{\vec{A}}(\vec{r}) = \vec{\bar{1}}_{\varphi} i \frac{\mu_0}{2} \dot{I} a J_1(\xi) \frac{e^{-ikr}}{r} \quad (8)$$

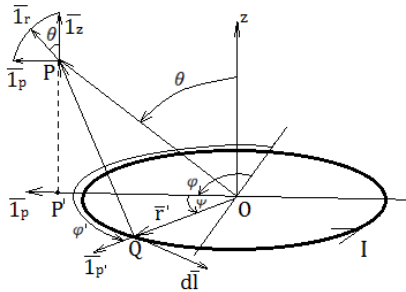


Рисунок 1 – Упрощенная модель круглого рамочного излучателя (P – точка наблюдения поля)

Подставляя (8) в (3), запишем поле в дальней зоне:

$$\dot{\vec{E}} = \dot{\vec{E}}_{\varphi} = -Z_0 \dot{H}_{\varphi} = Z_0 \dot{I} \frac{S}{\lambda a} J_1(\xi) \frac{e^{-ikr}}{r} = Z_0 \dot{I} \pi \frac{S}{\lambda^2} \sin \theta \frac{2 J_1(\xi)}{\xi} \frac{e^{-ikr}}{r} \quad (9)$$

где $Z_0 = \sqrt{\frac{\mu_0}{\varepsilon_0}}$; $S = \pi a^2$ - площадь рамки.

Для элементарной рамки согласно ее определению:

$$d = 2a \ll \lambda; \quad \xi_0 = ka = \frac{\pi d}{\lambda} \ll \pi; \quad \xi = \xi_0 \sin \theta \ll \pi$$

При этом в выражении (2) разность фаз между возмущениями, поступающими от разных точек излучателя, мала:

$$k\Delta r = k\rho' \sin \theta \cos \psi = \xi \cos \psi \ll \pi,$$

что позволяет в (7) положить:

$$e^{i\xi \cos \psi} \approx 1 + i\xi \cos \psi; \quad \int_0^{2\pi} e^{i\xi \cos \psi} \cos \psi d\psi \approx i\pi\xi$$

Таким образом, для элементарной рамки вместо (8) и (9) получим известные соотношения:

$$\dot{A}(\vec{r}) = \bar{1}_\varphi i \frac{\mu_0}{4} \dot{I} a^2 k \sin \theta \frac{e^{-ikr}}{r}; \quad E = \dot{E}_\varphi = Z_0 \dot{I} \pi \frac{S}{\lambda^2} \sin \theta \frac{e^{-ikr}}{r}. \quad (10)$$

Такой же результат получим с учетом предельных значений функции Бесселя при $1 \gg \xi \rightarrow 0$:

$$J_1(\xi) \approx \frac{\xi}{2}; \quad \frac{2J_1(\xi)}{\xi} \approx 1.$$

Согласно (9) для неэлементарной круглой рамки амплитудная характеристика направленности (АХН) может быть представлена в виде:

$$f(\theta) = 0,5\xi_0 F_3(\theta) F_H(\theta) = |J_1(\xi_0 \sin \theta)|,$$

где $F_3(\theta) = \sin \theta$ - АХН элементарной рамки,

$$F_H(\theta) = \frac{2|J_1(\xi(\theta))|}{\xi(\theta)} - \text{интерференционный множитель: } F_H(0) = 1.$$

Функция $J_1(\xi)$ имеет максимум при значении аргумента $\xi = 1,84$, равном первому корню производной $J_1'(\xi)$: $\max J_1(\xi) = J_1(1,84) = 0,58$.

При $\xi_0 = ka < 1,84$ максимум $f(\theta)$ достигается при $\theta_m = \frac{\pi}{2}$ и составляет $f_{max} = J_1(\xi_0)$, при этом нормированная АХН:

$$F(\theta) = \frac{f(\theta)}{f_{max}} = \frac{|J_1(\xi_0 \sin \theta)|}{J_1(\xi_0)}. \quad (11)$$

При $\xi_0 = ka \geq 1,84$ максимум $f(\theta)$ достигается при θ_m , определяемом из соотношения:

$$f_{max} = J_1(\xi_0 \sin \theta_m) = J_1(1,84) = 0,58; \quad \sin \theta_m = \frac{1,84}{\xi_0} \leq 1,$$

при этом нормированная АХН:

$$F(\theta) = \frac{|J_1(\xi_0 \sin \theta)|}{0,58}. \quad (12)$$

При $\xi_0 = 1,84$ $F(\theta)$ имеет единственный максимум в направлении $\theta_m = \frac{\pi}{2}$.

Нормированные диаграммы направленности круглой рамки, рассчитанные по (11) и (12) для ряда значений ξ_0 , представлены на рисунках 2 и 3.

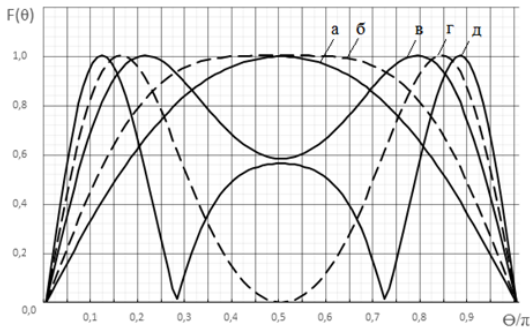
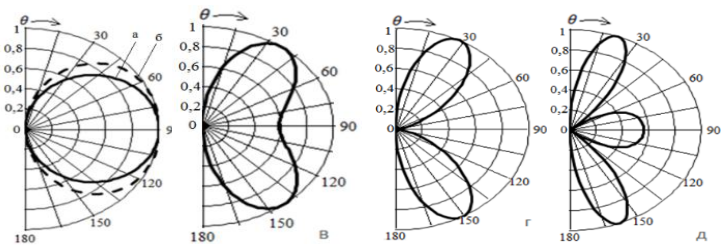


Рисунок 2 – Диаграммы направленности неэлементарной круглой рамки в декартовых координатах



- а) $ka=1, \theta_m = 90^\circ, \Delta\theta = 97^\circ$ б) $ka=1,84, \theta_m = 90^\circ, \Delta\theta = 123^\circ$
 в) $ka=3, \theta_{m1} = 38^\circ, \theta_{m2} = 142^\circ, \Delta\theta_1 = \Delta\theta_2 = 50^\circ$
 г) $ka=3,83, \theta_{m1} = 29^\circ, \theta_{m2} = 151^\circ, \Delta\theta_1 = \Delta\theta_2 = 33^\circ$
 д) $ka=5, \theta_{m1} = 22^\circ, \theta_{m2} = 158^\circ, \Delta\theta_1 = \Delta\theta_2 = 23^\circ$

Рисунок 3 – Диаграммы направленности неэлементарной круглой рамки в полярных координатах

При $1,84 < \xi_0 < 3,83$ диаграмма имеет два единичных максимума при $\theta_m < \frac{\pi}{2}$, и минимум между ними (при $\theta = \frac{\pi}{2}$). При $\xi_0 = 3,83$ этот минимум обращается в ноль, а при $\xi_0 > 3,83$ на месте минимума появляется третий лепесток с неединичным максимумом.

Для круглой рамки энергетически выгодным является режим $\xi_0 = 1,84$, так как вся энергия излучения сосредоточена в одном направлении $\theta_m = \frac{\pi}{2}$. В этом режиме амплитуда поля в направлении максимального излучения: $E_{\text{макс}} = |\dot{E}(\theta_m)| = 0,91 Z_0 |I| \frac{d}{\lambda r}$, а ширина ДН по уровню $F(\theta_{1,2}) = \frac{1}{\sqrt{2}}$ определяется соотношениями:

$$F(\theta_{1,2}) \equiv \frac{J_1(\xi_{1,2})}{0,58} = \frac{1}{\sqrt{2}}; \quad J_1(\xi_{1,2}) = 0,41; \quad \xi_{1,2} \equiv 1,84 \sin \theta_{1,2} = 0,91; \\ \theta_1 = 29,5^\circ; \quad \theta_2 = 150,5^\circ; \quad \Delta\theta = 121^\circ$$

Для элементарной круглой рамки ($\theta_m = \frac{\pi}{2}$):

$$E_{\text{макс}}^3 = |\dot{E}^3(\theta_m)| = Z_0 |I| \left(\frac{d^3}{\lambda}\right)^2 \frac{\pi^2}{4r},$$

а ширина ДН $\Delta\theta = 90^\circ$. При этом выигрыш по максимуму амплитуды для круглой рамки при $\xi_0 = 1,84$ по сравнению с элементарной составляет:

$$B = \frac{E_{\text{макс}}}{E_{\text{макс}}^3} = 0,37 \left(\frac{d}{\lambda}\right) / \left(\frac{d^3}{\lambda}\right)^2.$$

Если учесть, что в рассматриваемом режиме $\frac{d}{\lambda} \approx 0,59$ и принять $\frac{d^3}{\lambda} \leq 0,1$, то получим: $\frac{d}{d^3} \geq 0,59$, $B \geq 21$, по максимуму вектора Пойнтинга $B^2 \geq 441$, в децибелах $20 \lg B \geq 26,4$ дБ.

Далее рассмотрим прямоугольную неэлементарную рамку с размерами $h \times l$ (рисунок 4). Используем декартову систему координат: x, y, z – точка наблюдения, $x', y', z' = 0$ – точки источника. Плотность тока зададим в виде:

$$\vec{j}(\vec{r}') = I \{ \bar{I}_x \left[\delta\left(y' + \frac{l}{2}\right) - \delta\left(y' - \frac{l}{2}\right) \right] + \bar{I}_y \left[\delta\left(x' - \frac{h}{2}\right) - \delta\left(x' + \frac{h}{2}\right) \right] \} \delta(z') \quad (13) \\ I = I_m e^{i\omega t}$$

Используем соотношение (2). Выразим R через декартовы координаты, пренебрегая квадратичными членами:

$$R = |\vec{r} - \vec{r}'| = \sqrt{(x - x')^2 + (y - y')^2 + z^2} \approx r - \frac{xx' + yy'}{r} = r - \Delta r(\vec{r}') \quad (14)$$

Подставляя (13) и (14) в (2) и учитывая свойства δ -функций, получим:

$$\begin{aligned} \dot{\vec{A}}(\vec{r}) &= \frac{i\mu_0 e^{-ikr}}{4\pi r} \left\{ \bar{1}_x \int_{-\frac{h}{2}}^{\frac{h}{2}} \left[e^{i(xx' - y_2^l) \frac{k}{r}} - e^{i(xx' + y_2^l) \frac{k}{r}} \right] dx' + \right. \\ &\quad \left. + \bar{1}_y \int_{-\frac{l}{2}}^{\frac{l}{2}} \left[e^{i(x_2^h + yy') \frac{k}{r}} - e^{i(-x_2^h + yy') \frac{k}{r}} \right] dx' \right\} = \\ &= i \frac{\dot{I}\mu_0}{2\lambda} S \frac{\sin u}{u} \frac{\sin v}{v} \left(-\bar{1}_x \frac{y}{r} + \bar{1}_y \frac{x}{r} \right) \frac{e^{-ikr}}{r} \end{aligned} \quad (15)$$

Здесь

$$S = hl, \quad u = \frac{khx}{2r}; \quad v = \frac{kly}{2r}. \quad (16)$$

Используя соотношения между декартовыми (x, y, z) и сферическими (r, θ, φ) координатами, переведем $\dot{\vec{A}}(\vec{r})$ в сферические координаты:

$$\dot{\vec{A}}(\vec{r}) = \bar{1}_\varphi i \frac{\dot{I}\mu_0}{2\lambda} S \sin \theta \frac{\sin u}{u} \frac{\sin v}{v} \frac{e^{-ikr}}{r}, \quad (17)$$

где

$$u = 0,5kh \sin \theta \cos \varphi; \quad v = 0,5kl \sin \theta \cos \varphi \quad (18)$$

Подставляя (17) в (3), получим выражения поля прямоугольной рамки в дальней зоне:

$$\vec{E} = \dot{\vec{E}}_\varphi = -Z_0 \dot{H}_\theta = Z_0 i \pi \frac{S}{\lambda^2} \sin \theta \frac{\sin u}{u} \frac{\sin v}{v} \frac{e^{-ikr}}{r} \quad (19)$$

Для элементарной прямоугольной рамки:

$$h \ll \lambda; \quad l \ll \lambda; \quad u \ll \pi; \quad v \ll \pi; \quad \frac{\sin u}{u} \approx 1; \quad \frac{\sin v}{v} \approx 1,$$

при этом из (19) следует приведенное выше выражение (10).

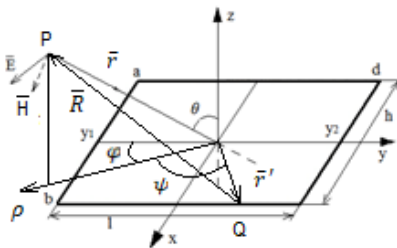


Рисунок 4 – Схематичное представление прямоугольной рамки

В плоскости xOz ($\varphi = 0$) получим согласно (18), (19):

$$u = 0,5kh \sin \theta; v = 0; \frac{\sin v}{v} = 1,$$

$$\dot{E}^{(x)} = \dot{E}_\varphi = Z_0 I \pi \frac{S}{\lambda^2} \sin \theta \frac{\sin u}{u} \frac{e^{-ikr}}{r}.$$

В плоскости yOz ($\varphi = \frac{\pi}{2}$) имеем:

$$v = 0,5kl \sin \theta; u = 0; \frac{\sin u}{u} = 1,$$

$$\dot{E}^{(y)} = \dot{E}_\varphi(r, \theta, \frac{\pi}{2}) = Z_0 I \pi \frac{S}{\lambda^2} \sin \theta \frac{\sin v}{v} \frac{e^{-ikr}}{r}$$

Введя обозначения $d \in \{h, l\}$; $\xi_0 = 0,5kd = \frac{d\pi}{\lambda}$; $\xi(\theta) = \xi_0 \sin \theta \in \{u, v\}$, запишем выражение для двух ортогональных плоскостей ($\varphi = 0, \frac{\pi}{2}$) в обобщенном виде:

$$\dot{E}^{(x,y)} = Z_0 I \pi \frac{S}{\lambda^2} \sin \theta \frac{\sin \xi(\theta)}{\xi(\theta)} \frac{e^{-ikr}}{r} = Z_0 I \frac{S}{\lambda d} \sin \xi(\theta) \frac{e^{-ikr}}{r} \quad (20)$$

Согласно (20) для неэлементарной прямоугольной рамки АХН, в общем случае ненормированная, в двух ортогональных плоскостях ($\varphi = 0, \frac{\pi}{2}$) запишется в виде:

$$f(\theta) = |\sin(\xi_0 \sin \theta)| = \xi_0 F_3(\theta) F_H(\theta), \quad (21)$$

где $F_3(\theta) = \sin \theta$ – АХН элементарной рамки, $F_H(\theta) = \frac{|\sin \xi(\theta)|}{\xi(\theta)}$ – интерференционный множитель. Диаграммы направленности для ряда значений параметра ξ_0 представлены на рисунках 5 и 6. При $\xi_0 < \frac{\pi}{2}$, ($d < \frac{\lambda}{2}$) максимум $f(\theta)$ не достигает единицы и имеет место при $\theta_m = 90^\circ$ (см. рисунок 6). На рисунке 5 показан график нормированной АХН:

$$F(\theta) = \frac{f(\theta)}{f_{max}} = \frac{|\sin(\xi_0 \sin \theta)|}{\sin \xi_0}$$

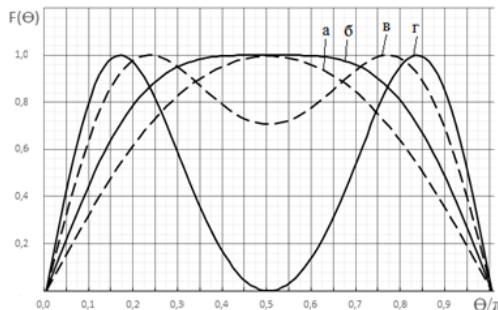
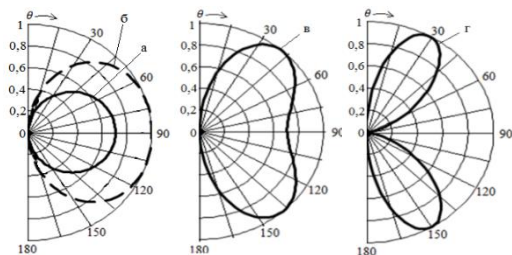


Рисунок 5 – Диаграммы направленности неэлементарной квадратной рамки в декартовых координатах



- а) $\xi_0 = \frac{\pi}{4}$ ($d = \frac{\lambda}{4}$), $\theta_m = 90^\circ$, $\Delta\theta = 97^\circ$ б) $\xi_0 = \frac{\pi}{2}$ ($d = \frac{\lambda}{2}$), $\theta_m = 90^\circ$, $\Delta\theta = 120^\circ$
 в) $\xi_0 = \frac{3\pi}{2}$ ($d = \frac{3\lambda}{2}$), $\theta_{m1} = 45^\circ$, $\theta_{m2} = 135^\circ$, $\Delta\theta_1 = \Delta\theta_2 = 63^\circ$
 г) $\xi_0 = \pi$ ($d = \lambda$), $\theta_{m1} = 30^\circ$, $\theta_{m2} = 150^\circ$, $\Delta\theta_1 = \Delta\theta_2 = 38^\circ$

Рисунок 6 – Диаграммы направленности неэлементарной квадратной рамки в полярных координатах

При $\xi_0 \geq \frac{\pi}{2}$ $\max f(\theta) = 1$ и нормированная АХН $F(\theta)$ совпадает с $f(\theta)$:

$$F(\theta) = f(\theta) = |\sin(\xi_0 \sin \theta)|.$$

При $\frac{\pi}{2} < \xi_0 < \pi$ ДН имеет два единичных максимума и минимум между ними, который обращается в ноль при $\xi_0 = \pi$. При $\xi_0 > \pi$ аналогично круглой рамке появляется третий максимум в направлении $\theta_m = 90^\circ$. При $(2m - 1)\frac{\pi}{2} \leq \xi_0 < (2m + 1)\frac{\pi}{2}$, где m – целое положительное число, в интервале $0 \leq \theta_m \leq \frac{\pi}{2}$ существуют m единичных максимумов при значениях θ_m , определяемых выражениями:

$$F(\theta_m) \equiv |\sin(\xi_0 \sin \theta_m)| = 1; \quad \sin \theta_m = \frac{0,5\pi(2m - 1)}{\xi_0}$$

Столько же единичных максимумов имеется в интервале $\frac{\pi}{2} \leq \theta_m \leq \pi$.

Для прямоугольной рамки энергетически выгодным является режим $\xi_0 = \frac{\pi}{2}$ (по той же причине, что и для круглой рамки). Токи в противоположных плечах рамки направлены встречно, а разность хода лучей от источника до точки наблюдения дает фазовый сдвиг π , поэтому возмущения от токов синфазны и формируют максимум.

Ширина ДН определяется из соотношений:

$$F(\theta_{1,2}) \equiv |\sin(0,5\pi \sin \theta_{1,2})| = \frac{1}{\sqrt{2}}; \quad \theta_{1,2} = 30^\circ, 150^\circ;$$

$\Delta\theta = 120^\circ$ - для неэлементарной рамки. Для элементарной - 90° .

Однако, несмотря на сходство АХН элементарной и неэлементарной рамок, амплитуда поля первой больше, чем у второй.

Согласно (20) для неэлементарной рамки: $E_{\max} = |\dot{E}(\theta_m)| = Z_0 |i| \frac{d}{\lambda r}$;

для элементарной: $E_{\max}^{\text{э}} = |\dot{E}^{\text{э}}(\theta_m)| = Z_0 |i| \left(\frac{d^{\text{э}}}{\lambda}\right)^2 \frac{\pi}{r}$

Выигрыш по максимуму амплитуды:

$$B = \frac{E_{\max}}{E_{\max}^0} = 0,32 \left(\frac{d}{\lambda}\right) / \left(\frac{d^3}{\lambda}\right)^2.$$

В рассматриваемом режиме $\frac{d}{\lambda} = \frac{1}{2}$ и, если принять $\frac{d^3}{\lambda} \leq 0,1$, то получим $\frac{d}{d^3} \geq 5$, $B \geq 16$, по максимуму вектора Пойнтинга $B^2 \geq 256$, в децибелах $20 \lg B \geq 24$ дБ.

Список использованных источников

1 Полухин, Ю.Н. Излучение электромагнитных волн: учеб. пособие [Текст] / Ю.Н. Полухин. – Самара: Изд-во СГАУ, 2016. – 156 с.

Балуков А.А., 8(927)295-20-38, balukov_98@mail.ru

УДК 621.384.82

МОДЕЛИРОВАНИЕ УМНОЖИТЕЛЯ НАПРЯЖЕНИЯ ДЛЯ ПИТАНИЯ ОТКЛОНЯЮЩИХ ЭЛЕКТРОДОВ ЭНЕРГОАНАЛИЗАТОРА

Е.А. Мирошников

«Самарский национальный исследовательский университет имени академика С.П. Королева», г. Самара

Ключевые слова: энергоанализатор, управляемый источник, электростатическое поле.

Для регистрации потоков заряженных частиц и анализа их характеристик часто применяются электростатические энергоанализаторы. Принцип их действия состоит в отклонении пучка частиц полем известной напряженности и дальнейшим детектированием ионного тока. Микроконтроллер при этом управляет работой устройства, загружает коды выборок управляющего напряжения заданной формы в ЦАП, диапазон напряжений расширяется благодаря использованию управляемых источников высокого напряжения, напряжение с выхода которых подается на систему электродов. Микроконтроллер сохраняет в памяти значения напряжений на электродах, при которых частицы достигают детектора. В дальнейшем сохраненные значения напряжений пересчитываются в энергию пучка. Благодаря использованию системы с цифровой обратной связью на основе аналого-цифрового преобразования напряжения на выходе управляемого источника возможна точная подстройка и увеличение точностных характеристик прибора.

Рассмотрим схему управляемого источника изображенную на рисунке 1. Промоделируем данную схему в пакете OrCAD и получим зависимости